2012 № 5 (67)

УДК 621.391; 621.395.44

## СМЕЖНО-ГРУППОВЫЕ СПЕКТРАЛЬНЫЕ ПРЕОБРАЗОВАНИЯ СЛОЖНЫХ СИГНАЛОВ

### Д.Л. ХОДЫКО, С.Б. САЛОМАТИН

Белорусский государственный университет информатики и радиоэлектроники П. Бровки, 6, Минск, 220013, Беларусь

Поступила в редакцию 20 мая 2012

Рассматривается алгоритм смежно-группового спектрального преобразования со свойством циклического сдвига спектра сигнала. Дается пример применения спектрального преобразования для формирования сигналов с дискретной частотно-фазовой манипуляцией. Предложенное спектральное преобразование также может использоваться для поиска и оценки параметров сложного сигнала.

Ключевые слова: смежно-групповое спектральное преобразование, смежные классы.

### Спектральные смежно-групповые преобразования

Дискретное z-преобразование сигнала определяется выражением

$$X(z) = \sum_{n=0}^{L-1} S(n)z^{-n},$$
 (1)

где s(n) – дискретные отсчеты сигнала;  $z = \exp(sT_d)$ ,  $s = j\omega + \sigma$ ; L – длина преобразования;  $T_d$  – интервал дискретизации. При  $z = v \exp(j2\pi k/L)$ , где v – радиус вектора на комплексной плоскости, выражение (1) сводится к вычислению дискретного преобразования Фурье от взвешенного сигнала  $v^{-n}s(n)$  [1, 2], которое в матричном виде записывается как

$$X = WvS, (2)$$

где **W** – матрица преобразования Фурье, **v** – диагональная матрица элементов  $v^{-n}$ .

Использование смежных классов преобразования Фурье [3] приводит выражении (2) к следующей записи:

$$\mathbf{F}_{T}^{(q)} = \mathbf{W}\mathbf{U}^{(q)}\mathbf{vS}, \qquad (3)$$

где 
$$\mathbf{U}^{(q)} = diag \left[ \exp \left( \frac{-j2\pi qn}{L\tilde{\mathbf{Q}}} \right) \right]; \; \tilde{\mathbf{Q}} \; -$$
 число смежных классов;  $q = 0..\tilde{\mathbf{Q}} - 1$ . Выражение (3)

можно представить в виде бичастотного преобразования по параметрам q, k:

$$X(z_1,z_2) = \sum_{n=0}^{N-1} S(n) z_1^{-n} z_2^{-n},$$

где 
$$z_1 = v \exp(j2\pi k/L)$$
;  $z_2 = \exp(j2\pi q/(L\tilde{Q}))$ .

На рис. 1 показан результат спектрального преобразования дискретноэкспоненциальной функции (ДЭФ)  $S(n) = \exp \left(j2\pi\,n \left(k_S + \Delta k\right)/L\right)$  с дискретной расстройкой по частоте  $\Delta k$  =0,5 и дискретным индексом частоты  $k_S$  = 3. Длина сигнала L = 64, радиус v =1. Число смежных классов  $\tilde{Q}$  = 8. Из рис. 1 видно, что максимум энергетического спектра приходится на единственное значение q = 4.

Результат не изменится при умножении (3) на единичную диагональную матрицу:  $\mathbf{IF}_T^{(q)} = \mathbf{IF}_T^{(q)} = \mathbf{WIU}^{(q)}\mathbf{vS}$ . Единичная матрица может быть представлена через матрицу линейного оператора циклического сдвига [4], тогда прямое и обратное смежно-групповое преобразование (СГП) при v=1 будет иметь вид

$$\mathbf{F}_{T}^{(q,i)} = \mathbf{W} \left( \mathbf{D}^{i} \mathbf{U}^{(q)} \right) \mathbf{S}, \quad \mathbf{S}' = L^{-1} \left( \mathbf{D}^{m} \mathbf{U}^{(q)} \right)^{H} \mathbf{W}^{-1} \mathbf{F}_{T}^{(q,i)}, \tag{4}$$

где i, m — показатель степени матрицы циклического сдвига, i, m = 0..L - 1 .

Спектр  $\mathbf{F}_T^{(q,i)}$  зависит от двух переменных – номера смежного класса q и показателя степени i матрицы циклического сдвига. В таблице приведены свойства матрицы линейного оператора циклического сдвига и свойства  $\mathbf{D}^i\mathbf{U}^{(q)}$ .

### Свойства матрицы циклического сдвига

| Свойства матрицы линейного оператора циклического сдвига  | Свойства произведения $\mathbf{D}^{i}\mathbf{U}^{(q)}$   |
|---|--|
| $\left(\mathbf{D}^{i}\right)^{H} = \left(\mathbf{D}^{L-i}\right), \left(\mathbf{D}^{L-i}\right)^{H} = \left(\mathbf{D}^{i}\right), \mathbf{D}^{-i} = \mathbf{D}^{L-i}, \left(\mathbf{D}^{i}\right)^{H} \mathbf{D}^{i} = \mathbf{I}$ | $\left(\mathbf{D}^{t}\mathbf{U}^{(q)}\right)^{H}\mathbf{D}^{t}\mathbf{U}^{(q)} = \left(\mathbf{U}^{(q)}\right)^{H}\mathbf{U}^{(q)} = \mathbf{I},$    |
| $\left(\mathbf{D}^{L-i}\right)^{H}\mathbf{D}^{i} \neq \mathbf{D}^{L-i}\left(\mathbf{D}^{i}\right)^{H}, \ \left(\mathbf{D}^{L-i}\right)^{H}\mathbf{D}^{i} = \mathbf{D}^{i}\left(\mathbf{D}^{L-i}\right)^{H}$                         | $\left(\mathbf{D}^{L-i}\mathbf{U}^{(q)}\right)^{H}\mathbf{D}^{i}\mathbf{U}^{(q)} = \left(\mathbf{U}^{(q)}\right)^{H}\mathbf{D}^{2i}\mathbf{U}^{(q)}$ |

Справедливость свойств устанавливается прямым вычислением. Например, для матрицы правого сдвига

$$\mathbf{D} = \begin{pmatrix} 0 & 0 & 1 \\ 1 & 0 & 0 \\ 0 & 1 & 0 \end{pmatrix}, \quad \mathbf{D}^H = \mathbf{D}^2 = \begin{pmatrix} 0 & 1 & 0 \\ 0 & 0 & 1 \\ 1 & 0 & 0 \end{pmatrix}.$$

Свойство ортогональности. Произведение операторов разложения и восстановления сигнала из (4)

$$\left(L^{-1}\left(\mathbf{D}^{m}\mathbf{U}^{(q)}\right)^{H}\mathbf{W}^{-1}\right)\left(\mathbf{W}\left(\mathbf{D}^{i}\mathbf{U}^{(q)}\right)\right) = \left(\mathbf{D}^{m}\mathbf{U}^{(q)}\right)^{H}\left(\mathbf{D}^{i}\mathbf{U}^{(q)}\right) =$$

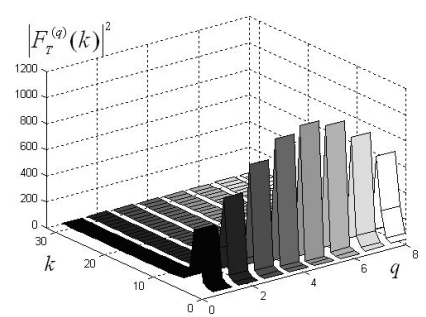
$$= \left(\mathbf{U}^{(q)}\right)^{H}\mathbf{D}^{L-m}\mathbf{D}^{i}\mathbf{U}^{(q)} = \left(\mathbf{U}^{(q)}\right)^{H}\mathbf{D}^{i-m}\mathbf{U}^{(q)}$$

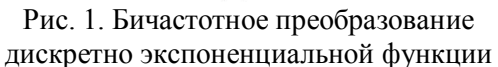
при  $(i-m) \mod L \equiv 0$  дает единичную диагональную матрицу. Восстановленный сигнал по преобразованию (4) является инвариантным относительно значения q.

В смежно-групповом преобразовании (4) помножим спектр на  $\mathbf{D}^i$  и получим пару преобразований

$$\mathbf{F}_{T}^{(q,i)} = \mathbf{D}^{i}\mathbf{W}\left(\mathbf{D}^{i}\mathbf{U}^{(q)}\right)\mathbf{S}, \quad \mathbf{S}' = L^{-1}\left(\mathbf{D}^{m}\mathbf{U}^{(q)}\right)^{H}\mathbf{W}^{-1}\mathbf{F}_{T}^{(q,i)}. \tag{5}$$

Выражение (5) позволяет выполнить циклический сдвиг спектра сигнала в частотной области. На рис. 2 приведен пример циклического сдвига линейно-частотно-модулированного сигнала  $S(n) = \exp\left(j2\pi\,nk_S\big/L + j\alpha_{NB}n^2\right)$  с параметрами  $k_S$  =5, L =64,  $\alpha$  =0,015. Параметр преобразования i = 40.





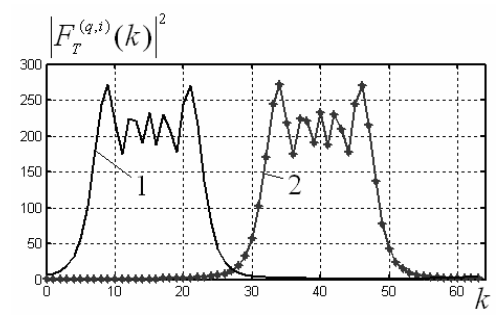


Рис. 2. Энергетический спектр исходного сигнала (1) и его циклически сдвинутый спектр (2)

В общем случае в силу различий i, m сигнал и его спектр не будут соответствовать друг другу. Для соответствия сдвинутого спектра с его временной формой в обратном преобразовании должно выполняться условие i=m.

Алгоритм (5), также как и алгоритм (4), частотный сдвиг в пределах смежных классов во временную область не трансформирует. Для сохранения частотного сдвига необходимо применить обратное преобразование (4) с параметрами m = q = 0.

Вычислительная сложность преобразования (5) определяется вычислительной сложностью преобразования Фурье. Для (5) на основе алгоритма быстрого преобразования Фурье (БПФ) типа «бабочка» длиной  $L=2^n$  потребуется  $L\log_2\left(L\right)$  операций сложения,  $0.5L\log_2\left(L\right)+2L$  операций комплексного умножения, включая  $\mathbf{U}^{(q)}$ . Матрицы циклического сдвига заменяются на операции перестановки входных и выходных значений алгоритма БПФ.

### Синтез сигналов с фазовой манипуляцией

Внесем в восстановленный сигнал по преобразованию (4) зависимость от параметра q и запишем выражение для восстановления сигнала как  $\mathbf{S}' = L^{-1} \left( \mathbf{D}^m \mathbf{U}^{(q)} \right) \mathbf{W}^{-1} \mathbf{F}_T^{(q,i)}$ . Тогда преобразование, связывающее сигналы  $\mathbf{S}$  и  $\mathbf{S}'$ , имеет вид

$$\mathbf{S}' = \left(\mathbf{D}^{m+i}\mathbf{U}^{(q)}\right)\mathbf{S}.\tag{6}$$

Матрица циклического сдвига приводит к фазовому изменению спектра сигнала. Во временной области фазовые изменения соответствуют циклическому сдвигу исходного сигнала на величину i+m. В сигнал в виде ДЭФ с дискретной расстройкой по частоте  $\Delta k$  после преобразования (6) добавляются два фазовых изменения на позициях m и  $(i+m) \mod L$ , в общем случае пропорциональных значению  $2\pi \left(\Delta k - q/\tilde{Q}\right)$ . Значения  $\Delta k$  и  $\tilde{Q}$  определяют возможный набор фазовых изменений. В частном случае, когда  $\tilde{Q}=1$ , имеем одно изменение фазы сигнала в месте  $(i+m) \mod L$ . Наличие смежных классов приводит к дискретному частотному сдвигу не более чем на два значения.

Выбор соответствующих параметров преобразования (6) позволяет получить модели сигналов с дискретным изменением фазы, преобразование (5) выполняет частотный сдвиг спектра сигнала. Указанные свойства позволяют синтезировать сигналы с частотно-фазовой манипуляцией. По преобразованию (6) сформируем сигнал, используя параметры i,m и q. На рис. 2 показан пример синтезированного сигнала с фазовой манипуляцией из ДЭФ с  $\Delta k = 0,8$  и произвольными параметрами преобразования:  $\tilde{Q} = 4, q = 2, i = 40, m = 8$ .

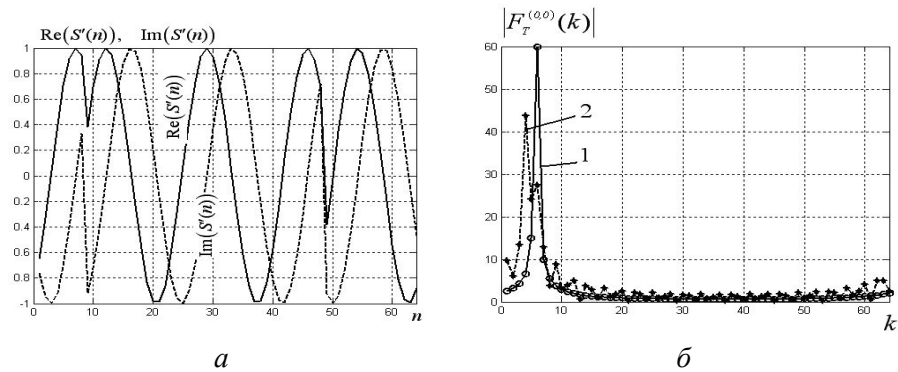


Рис. 3. Синтезированный сигнал (a) и его спектр ( $\delta$ ): 1 — спектр исходной ДЭФ, 2 — спектр синтезированного сигнала

Из рис. 3,a видно, что фазовые изменения произошли на позициях 8 и 48. Максимум спектра синтезированного сигнала смещен относительно максимума спектра исходной ДЭФ (рис.  $3,\delta$ ).

Параметры i,m используются для установки фазового преобразования в заданном месте. Конкатенацией синтезированных реализаций получается сигнал без изменения фазы на краях выборки. Преобразование (6) позволяет формировать сигналы с требуемым числом изменений фазы в синтезированном сигнале, причем в одной выборке длиной L может быть не более двух изменений фазы.

Кодофазоманипулированный (КФМ) сигнал получается из ДЭФ с  $\Delta k=0$  с параметрами преобразования, например,  $i=0,\ m=0,\ \tilde{Q}=2$ . В прямом преобразовании (6) q принимает значения 0 или 1 в соответствии со значениями псевдослучайной последовательности (ПСП). КФМ-сигнал также можно получить при  $i=0,\ \Delta k=0,\ \tilde{Q}=1,\$ управляя m , которое принимает два значения: 0 и 0,5L/k . На рис. 4 а показаны совмещенные реализации синтезированного КФМ-сигнала.

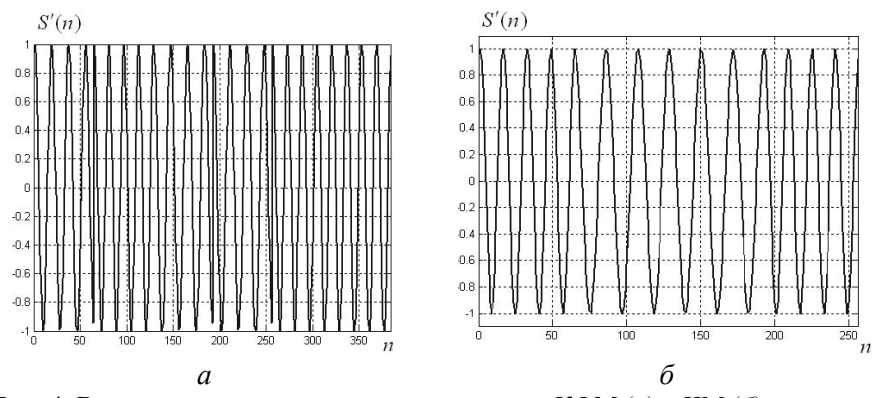


Рис. 4. Временные реализации синтезированных КФМ (a) и ЧМ  $(\delta)$  сигналов

V истиали изиментел из ДЭФ с  $\Delta k$  =0,5 при i = 0, M = 0,  $\tilde{Q}$  = 4. Значения дискретных частот уточняются выбором q . На рис. 4, $\delta$  показана реализация ЧМ сигнала. Из рис. 4, $\delta$  видно, что в точках соединения сигналов фаза не изменяется, следовательно, может использоваться когерентная обработка синтезированного сигнала. Спектральное преобразование (4) можно применить для детектирования ЧМ-сигналов.

Сигналы с ортогональными частотами в спектральной области получаются из комплексной экспоненты на основании преобразования (5):

$$\mathbf{F}_{T}^{(q,\mathbf{p},i)} = \left(\sum_{p \in \mathbf{p}} \mathbf{D}^{i-p}\right) \mathbf{W} \left(\left(\sum_{p \in \mathbf{p}} \mathbf{D}^{i-p}\right) \mathbf{U}^{(q)}\right) \mathbf{S},$$

где  ${\bf p}$  является множеством натуральных чисел размерности L .

Значения из множества  ${\bf p}$  определяют расположение частот на частотной оси. Во временную область спектр переводится обратным преобразованием со значениями q=0, i=m=0:  ${\bf S}_{MF}=L^{-1}{\bf W}^{-1}{\bf F}_T^{(q,{\bf p},i)}$ .

Управление частотами осуществляется значениями из  ${\bf p}$  и частотным сдвигом i. Это позволяет формировать сигналы с прыгающими частотами по заранее определенному закону и двигать их по частотной оси.

## Алгоритм многоканальной спектральной обработки при поиске и оценке параметров сложных сигналов

Быстрые алгоритмы корреляционной обработки реализуются с использованием алгоритмов быстрого преобразования Фурье. Максимальный частотный сдвиг в спектральном преобразовании (5) равен  $L/T_H$ . Это может превосходит область неопределенности по частоте  $\begin{bmatrix} f_{Dop\, \text{min}} & f_{Dop\, \text{max}} \end{bmatrix}$  при поиске сигнала. Поэтому логично использовать количество сдвигов P, укладывающихся в область неопределенности:  $P = (|f_{Dop\, \text{min}}| + |f_{Dop\, \text{max}}|)T_H$ . С учетом свойства циклического сдвига спектра в преобразовании (5), алгоритм вычисления дискретной функции неопределенности [4]

$$\Phi(k,m) = \left| \sum_{n=0}^{L-1} y(n) G_0(n+m) \exp(-j 2\pi kn/L) \right|^2,$$

где y(n) — отсчеты наблюдаемого сигнала;  $G_0(n)$  — значения опорной псевдослучайной последовательности, k и m — отсчеты дискретных индексов частоты и задержки соответственно, включает следующие действия.

- 1. Вычисляется СГП (5) с параметрами i = 0, q = 0..  $\tilde{Q} 1$  от входной смеси y(n).
- 2. Вычисляется СГП (5) с параметрами  $i=0..P-1\,,\ P < L$  и q=0 от опорной ПСП  $G_0\left(n\right).$ 
  - 3. Вычисляется спектр  $\mathbf{F}_{T}^{(i,q)}$  сечений двухмерной корреляционной функции r:

$$\mathbf{F}_{T}^{(i,q)} = F^{(0,q)} \{ \mathbf{y} \} \cdot F^{(i,0)} \{ \mathbf{G}_{0} \}^{*},$$

где  $F^{(i,q)}\{\mathbf{x}\}$  — обозначает спектральное преобразование от  $\mathbf{x}$  :  $\mathbf{F}_{T}^{(i,q)}=F^{(i,q)}\{\mathbf{x}\}$  ;  $\mathbf{y}$  и  $\mathbf{G}_{0}$  — вектора отчетов входного сигнала и опорной ПСП длиной L .

4. Вычисляются сечения функции неопределенности как обратное СГП (5) от  ${\bf F}_T^{(i,q)}$  с параметрами m=i ,  $q=0..\tilde{\rm Q}-1$ :

$$\mathbf{\Phi}^{(i,q)} = \left| L^{-1} \left( \mathbf{D}^i \mathbf{U}^{(q)} \right)^H \mathbf{W}^{-1} \left( \mathbf{D}^i \mathbf{U}^{(q)} \right) \mathbf{F}_T^{(i,q)} \right|^2.$$

- 5. Оценка параметров сигнала определяется как:
- номер смежного класса  $\mathbf{q} = \arg\max_{i,q} \left(\Phi(k,m)^{(q,i)}\right);$
- выбор функции неопределенности  $\Phi(k,m) = \arg\max_{i,q} \left(\Phi(k,m)^{(q,i)}\right);$
- дискретный индекс частоты  $\mathcal{E} = \arg\max_{k} (\Phi(k,m));$
- дискретный индекс задержки  $n = \arg \max_{k} \left( \Phi(k, m) \right);$

- оценка частоты допплеровского смещения [3]  $f_{Dop} = (f + k \tilde{Q}) / (L \tilde{Q} T_H)$ , где  $T_H$  – интервал анализа.

Спектральный алгоритм поиска сигналов является многоканальным с числом каналов  $P \times \tilde{\mathbf{Q}}$ , работа которых может быть организована в последовательном или параллельном режимах. Свойство циклического сдвига спектра сигнала по частоте позволяет обойтись без произведения опорного гармонического колебания на ПСП, а применение смежных классов повышает точность оценки частоты. Время поиска  $P \times \tilde{\mathbf{Q}}$ -канального спектрального преобразования равно интервалу анализа  $T_H$ , что соответствует n-канальному обнаружителю [5].

Вычислительная сложность одного канала составляет  $3L\log_2 L$  операций сложения,  $1,5L\log_2 L+6L$  операций умножения.

### Выволы

Представлен алгоритм частотно-сдвигового спектрального преобразования, обладающий свойством циклического сдвига спектра сигнала. Изменение параметров алгоритма обработки позволяет синтезировать сигналы с дискретной частотно-фазовой манипуляцией. Причем получаемые ЧМ-сигналы являются когерентными. Вычислительная сложность спектрального преобразования соизмерима с вычислительной сложностью алгоритма быстрого преобразования Фурье. Рассмотрено применение спектрального преобразования для поиска и оценки параметров сложного сигнала. Время поиска составляет интервал анализа. Точность оценки частоты пропорциональна числу смежных классов.

# ADJACENT-GROUP SPECTRAL TRANSFORMATION COMPLEX SIGNALS

D.L. KHODYKO, S.B. SALOMATIN

### **Abstract**

An algoritm presented by the adjacent-group transformation of the spectral properties of a cyclic shift of the signal is considered. The transformation is used to generate signals with a frequency-phase-shift keying and to search for complex signals.

## Список литературы

- 1. Рабинер П., Гоулд Б. Теория и применение цифровой обработки сигналов. М., 1978.
- 2. Петько В.И., Куконин В.Е., Шихов Н.Б. Цифровая фильтрация и обработка сигналов. Мн., 1995.
- 3. Ходыко Д.Л., Саломатин С.Б. // Докл. БГУИР. 2008. №1(31). С. 16-21.
- 4. Марпл С.Л. Цифровой спектральный анализ и его приложения. М, 1990.
- 5. Тузов Г.И. Статистическая теория приема сложных сигналов. М., 1977.